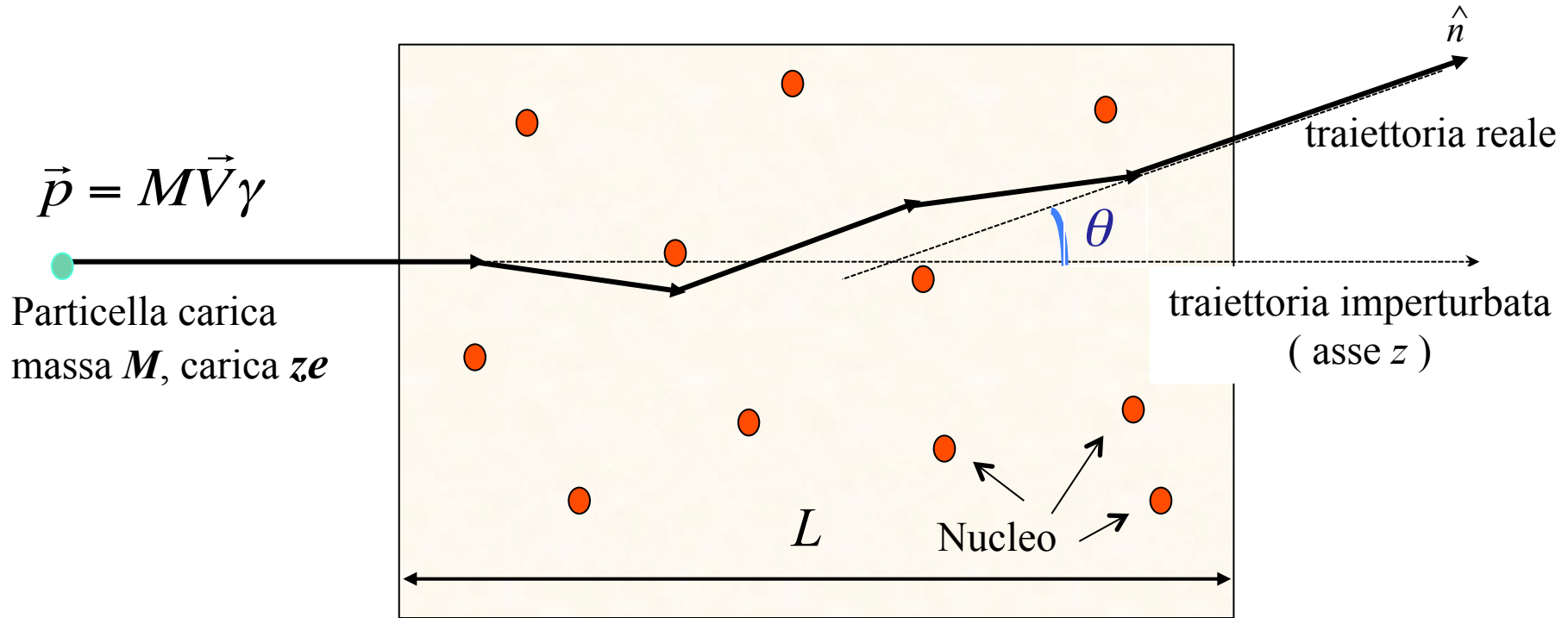


bozza 30 nov 2017  
da verificare

# Lo scattering multiplo coulombiano - descrizione qualitativa -



Multiplo scattering: deflessione di una particella veloce (massa  $M$ , carica  $ze$ ) in un mezzo di spessore  $L$ . E' dovuta ad interazioni multiple ed elastiche nei campi coulombiani dei nuclei (ognuno di carica  $Ze$ ).

bozza 30 nov 2017  
da verificare

# Lo scattering multiplo coulombiano - definizioni degli angoli ed ipotesi -

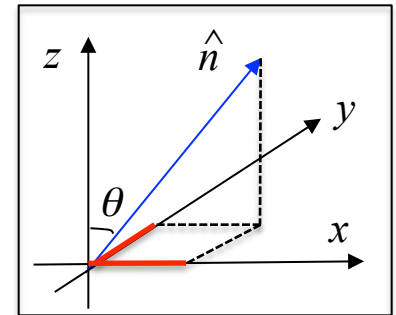
$\theta$  angolo rispetto all'asse  $z$ :  $0 < \theta \ll 1$

$\theta_x$  (in rosso in figura) proiezione di  $\theta$  su  $x$ :  $-\infty < \theta < +\infty$

$\theta_y$  (in rosso in figura) proiezione di  $\theta$  su  $y$ :  $-\infty < \theta < +\infty$

$$\hat{n} = \begin{pmatrix} \sin \vartheta \cos \phi \\ \sin \vartheta \sin \phi \\ \cos \vartheta \end{pmatrix} \approx \begin{pmatrix} \vartheta \cos \phi \\ \vartheta \sin \phi \\ 1 \end{pmatrix} = \begin{pmatrix} \vartheta_x \\ \vartheta_y \\ 1 \end{pmatrix}$$

$$\vartheta^2 = \vartheta_x^2 + \vartheta_y^2$$



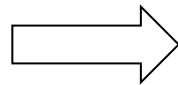
**Ipotesi:**  $\theta \ll 1$  (piccole deflessioni per una particella veloce)

**Ipotesi:** distribuzione gaussiana per  $\theta_x$  e  $\theta_y$  con r.m.s.  $\theta_0$  ( $\ll 1$ , parametro da calcolare utilizzando il modello basato sullo scattering Rutherford) (\*).

$$\frac{dP}{d\vartheta_x} = \frac{1}{\vartheta_0 \sqrt{2\pi}} e^{-\frac{\vartheta_x^2}{2\vartheta_0^2}}$$

$$\langle \vartheta_x \rangle = \langle \vartheta_y \rangle = 0$$

$$\frac{dP}{d\vartheta_x} = \frac{1}{\vartheta_0 \sqrt{2\pi}} e^{-\frac{\vartheta_x^2}{2\vartheta_0^2}}$$



$$\sqrt{\langle \vartheta_x^2 \rangle} = \sqrt{\langle \vartheta_y^2 \rangle} = \vartheta_0$$

(\*). Per “grandi” angoli ( $\sim 2\%$  dei casi) occorre invece utilizzare la **distribuzione di Molière**.

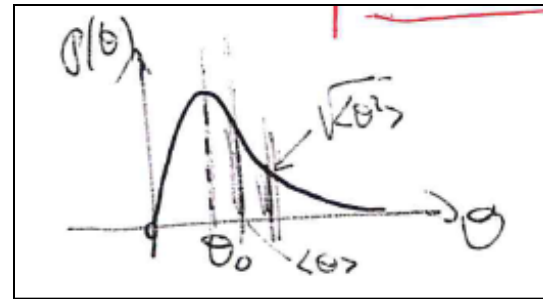
bozza 30 nov 2017  
da verificare

# Lo scattering multiplo coulombiano - distribuzione dell'angolo di scattering multiplo -

$$1 = \int_{-\infty}^{\infty} \int_{-\infty}^{\infty} \frac{1}{\vartheta_0 \sqrt{2\pi}} e^{-\frac{\vartheta_x^2}{2\vartheta_0^2}} \frac{1}{\vartheta_0 \sqrt{2\pi}} e^{-\frac{\vartheta_y^2}{2\vartheta_0^2}} d\vartheta_x d\vartheta_y = \int_0^{\infty} \int_0^{2\pi} \frac{1}{2\pi\vartheta_0^2} e^{-\frac{\vartheta^2}{2\vartheta_0^2}} \vartheta d\vartheta d\phi = \int_0^{\infty} \frac{\vartheta}{\vartheta_0^2} e^{-\frac{\vartheta^2}{2\vartheta_0^2}} d\vartheta$$

da cui

$$P(\vartheta) = \frac{\vartheta}{\vartheta_0^2} e^{-\frac{\vartheta^2}{2\vartheta_0^2}}$$



Notiamo che:

$$\langle \vartheta \rangle = \int_0^{\infty} \vartheta P(\vartheta) d\vartheta = \int_0^{\infty} \frac{\vartheta^2}{\vartheta_0^2} e^{-\frac{\vartheta^2}{2\vartheta_0^2}} d\vartheta = \vartheta_0 \int_0^{\infty} w^2 e^{-\frac{w^2}{2}} dw = \frac{\vartheta_0}{2} \int_{-\infty}^{\infty} w^2 e^{-\frac{w^2}{2}} dw = \vartheta_0 \sqrt{\frac{\pi}{2}}$$

$$\langle \vartheta^2 \rangle = \int_0^{\infty} \vartheta^2 P(\vartheta) d\vartheta = \int_0^{\infty} \frac{\vartheta^3}{\vartheta_0^2} e^{-\frac{\vartheta^2}{2\vartheta_0^2}} d\vartheta = \int_0^{\infty} \frac{\vartheta^2}{\vartheta_0^2} e^{-\frac{\vartheta^2}{2\vartheta_0^2}} d\frac{\vartheta^2}{2} = 2\vartheta_0^2 \int_0^{\infty} t e^{-t} dt = 2\vartheta_0^2$$

$$\sqrt{\langle \vartheta^2 \rangle} = \sqrt{\langle \vartheta_x^2 \rangle + \langle \vartheta_y^2 \rangle} = \vartheta_0 \sqrt{2}$$

$$\sigma_{\vartheta} = \sqrt{\langle \vartheta^2 \rangle - \langle \vartheta \rangle^2} = \vartheta_0 \sqrt{2 - \frac{\pi}{2}} = 0.65\vartheta_0$$

questo é rilevante per la dispersione finale

bozza 30 nov 2017  
da verificare

# Lo scattering multiplo coulombiano angolo quadratico medio per singolo urto -

Dalla sezione d'urto **Mott** :

$$\frac{d\sigma}{d\Omega} = \left( \frac{zZ\alpha\hbar c}{2PV} \right)^2 \frac{1 - \beta^2 \sin^2 \frac{\vartheta}{2}}{\sin^4 \frac{\vartheta}{2}} \approx \left( \frac{zZ\alpha\hbar c}{2PV} \right)^2 \frac{1}{\frac{\vartheta^4}{16}} = \left( \frac{2zZ\alpha\hbar c}{PV} \right)^2 \frac{1}{\vartheta^4} \Rightarrow$$

$$\frac{d\sigma}{d\Omega} \approx \frac{\ell^2}{\vartheta^4} \quad \text{con} \quad \ell = \frac{2zZ\alpha\hbar c}{PV}$$

L'angolo quadratico medio per un urto è:

$$\langle \vartheta_{urto}^2 \rangle = \frac{\int_{\vartheta_{min}}^{\vartheta_{max}} \vartheta^2 \frac{d\sigma}{d\Omega} d\Omega}{\int_{\vartheta_{min}}^{\vartheta_{max}} \frac{d\sigma}{d\Omega} d\Omega} = \frac{\int_{\vartheta_{min}}^{\vartheta_{max}} \vartheta^2 \frac{\ell^2}{\vartheta^4} 2\pi \sin \vartheta d\vartheta}{\sigma_{ms}} = \frac{2\pi\ell^2}{\sigma_{ms}} \ln \frac{\vartheta_{max}}{\vartheta_{min}} \quad \text{con} \quad \sigma_{ms} = \int_{\vartheta_{min}}^{\vartheta_{max}} \frac{d\sigma}{d\Omega} d\Omega$$

Utilizzando la relazione

$$\tan \frac{\vartheta}{2} = \frac{zZ\alpha\hbar c}{PV} \frac{1}{b} \Rightarrow \vartheta \approx \frac{\ell}{b} \quad \text{con} \quad \begin{aligned} b_{min} &= R_{nucleo} = r_0 A^{1/3} \\ b_{max} &= R_{atomo} = 1.4 a_0 Z^{-1/3} \end{aligned}$$

ed anche  $A \sim 2Z$  :

$$\ln \frac{\vartheta_{max}}{\vartheta_{min}} = \ln \frac{b_{max}}{b_{min}} = \ln \frac{1.4 a_0 Z^{-1/3}}{r_0 A^{1/3}} = \ln \frac{1.4 \cdot 0.53 \cdot 10^5 \text{ fm}}{1.4 \text{ fm} (ZA)^{1/3}} \approx \ln \frac{5.3 \cdot 10^4}{\sqrt[3]{2Z}^{2/3}} = 2 \ln \frac{205}{Z^{1/3}}$$

$$\langle \vartheta_{urto}^2 \rangle \approx \frac{4\pi\ell^2}{\sigma_{ms}} \ln \frac{205}{Z^{1/3}}$$

bozza 30 nov 2017  
da verificare

# Lo scattering multiplo coulombiano - angolo quadratico medio -

L'angolo quadratico medio si ottiene sommando in quadratura su tutti gli urti :

$$\langle \vartheta^2 \rangle = N_{urti} \langle \vartheta_{urto}^2 \rangle = nL\sigma_{ms} \langle \vartheta_{urto}^2 \rangle = 4\pi nL\ell^2 \ln \frac{205}{Z^{1/3}} .$$

Ricordando la definizione di lunghezza di radiazione data dalla formula di Tsai (che approssimiamo):

$$X_0 = \frac{1}{4Z^2 n\alpha r_e^2 \left[ \ln \frac{184}{Z^{1/3}} - f(Z) + \frac{L'}{Z} \right]} \approx \frac{1}{4Z^2 n\alpha r_e^2 \ln \frac{184}{Z^{1/3}}}$$

$$\sqrt{\langle \vartheta^2 \rangle} = \sqrt{\frac{X_0}{X_0} 4\pi nL\ell^2 \ln \frac{205}{Z^{1/3}}} = \ell \sqrt{\frac{L}{X_0}} \sqrt{\frac{4\pi n \ln \frac{205}{Z^{1/3}}}{4Z^2 n\alpha r_e^2 \ln \frac{184}{Z^{1/3}}}} \approx \ell \sqrt{\frac{L}{X_0}} \sqrt{\frac{\pi}{Z^2 \alpha r_e^2}} \Rightarrow$$

$$\sqrt{\langle \vartheta^2 \rangle} = \frac{2zZ\alpha\hbar c}{PV} \frac{1}{r_e} \sqrt{\frac{L}{X_0}} \sqrt{\frac{\pi}{Z^2 \alpha}} = \frac{2zm_e c^2}{PV} \sqrt{\frac{L}{X_0}} \sqrt{\frac{2\pi}{\alpha}} \cong z\sqrt{2} \frac{14.6 \text{ MeV}}{PV} \sqrt{\frac{L}{X_0}}$$

Un calcolo più preciso darebbe il valore del PDG:

$$\sqrt{\langle \vartheta^2 \rangle} = z\sqrt{2} \frac{13.6 \text{ MeV}}{PV} \sqrt{\frac{L}{X_0}}$$

$$\vartheta_0 = z \frac{13.6 \text{ MeV}}{PV} \sqrt{\frac{L}{X_0}}$$